

การวิเคราะห์เสาะส่งไฟฟ้าทางพลศาสตร์

นาย เอกรัฐ สมครรุกิจ



ศูนย์วิทยทรัพยากร
จุฬาลงกรณ์มหาวิทยาลัย
วิทยานิพนธ์นี้เป็นส่วนหนึ่งของการศึกษาตามหลักสูตรปริญญาวิศวกรรมศาสตรมหาบัณฑิต

ภาควิชาวิศวกรรมโยธา

บัณฑิตวิทยาลัย จุฬาลงกรณ์มหาวิทยาลัย

ปีการศึกษา 2539

ISBN 974-632-610-4

ลิขสิทธิ์ของบัณฑิตวิทยาลัย จุฬาลงกรณ์มหาวิทยาลัย

DYNAMICS ANALYSIS ON TRANSMISSION TOWER

Mr Agarat Samakrattakit

A Thesis Submitted in Partial Fulfillment of the Requirements

for the Degree of Master of Engineering

Department of Civil Engineering

Graduate School

Chulalongkorn University

Academic Year 1996

ISBN 974-632-610-4

หัวข้อวิทยานิพนธ์ : การวิเคราะห์เสียงไฟฟ้าทางพลศาสตร์
โดย : นาย เอกรัฐ สมครรัฐกิจ
ภาควิชา : วิศวกรรมโยธา
อาจารย์ที่ปรึกษา : ศาสตราจารย์ ดร.ปนิธาน ลักษณะประสีทธี

บัณฑิตวิทยาลัย จุฬาลงกรณ์มหาวิทยาลัย อนุมัติให้นับวิทยานิพนธ์ฉบับนี้เป็นส่วนหนึ่งของการศึกษาตามหลักสูตรปริญญามหาบัณฑิต



คณะกรรมการสอบวิทยานิพนธ์

..... ประชานกรรมการ
(รองศาสตราจารย์ ดร.สุธรรม สุริยะมงคล)

.....อาจารย์ที่ปรึกษา
(ศาสตราจารย์ ดร.ปนิธาน ลักษณะประสิทธิ์)

 กรรมาการ
(ศาสตราจารย์ ดร.ทักษิณ เทพชาตรี)



พิมพ์ต้นฉบับทัศน์อวิทยานิพนธ์ภาษาในกรอบสีเขียวนี้เพียงแผ่นเดียว

เอกสาร สมัครรักษ์ : การวิเคราะห์เสียงไฟฟ้าทางพลศาสตร์ (DYNAMICS ANALYSIS ON TRANSMISSION TOWER) อ.ที่ปรึกษา : ศ.ดร.ปณิธาน ลักษณะประสีห์, 156 หน้า
ISBN 974-632-610-4

การวิจัยนี้มีจุดมุ่งหมายเพื่อเปรียบเทียบผลของแรงลมที่มีต่อโครงสร้างทางสติติกศาสตร์ตามข้อกำหนดของ การไฟฟ้าฝ่ายผลิตแห่งประเทศไทย (กฟผ.) และข้อกำหนดใหม่ที่เสนอโดยหน่วยบริจัยอุ่นคงลม มหาวิทยาลัยเวสเทิร์น ออนตาริโอ (UWO) ทั้งแบบเริงเส้นและไม่เริงเส้นทางเรขาคณิตโดยพิจารณาวัสดุอยู่ในช่วงอีเลสติก และเปรียบเทียบผลการ ตอบสนองทางพลศาสตร์แบบเริงเส้นของแรงภายในและแรงปฏิกิริยาภัยผลที่ได้จากการประยุกต์ข้อกำหนด UWO โดยใช้ พังก์ชันของแรงที่ขึ้นกับเวลา ซึ่งแปลงมาจากบันทึกความเร็วลม ในกรณีที่ได้จำลองโครงสร้างโดยวิธีไฟในต่ออิเลเมนต์ และใช้โปรแกรม SAP90 ในการวิเคราะห์ ตัวอย่างกรณีศึกษาที่ใช้คือ เสาสูงไฟฟ้า DA1 สูง 46.68 เมตร ซึ่งเป็นเสาสูงที่ได้ วิบติดจากลมพายุได้ผุ้นเกยในสภาพที่ยังไม่ได้ซึ้งสายไฟ เมื่อ พ.ศ. 2532

ผลการวิเคราะห์ทางสติติกศาสตร์พบว่าแรงเฉือนตามข้อกำหนด UWO สูงกว่า กฟผ. ประมาณ 8% ในขณะที่ ไม่มากกว่าถึง 30% และแรงภายในขั้นส่วนสูงกว่าข้อกำหนด กฟผ. ประมาณ 10-40% สาเหตุสำคัญ คือ ข้อกำหนดของ UWO คิดแรงลมกระทำต่อเสาสูงในลักษณะการกระจายความเร็วลมตามกฎการยกกำลัง จึงให้ผลไม่เหมือนกันกว่าข้อกำหนด กฟผ. ซึ่งใช้ค่าแรงลมที่ความสูงเฉลี่ยกระจายสม่ำเสมอตลอดเสาสูง สำหรับการวิเคราะห์ซึ่งพิจารณาความไม่เริงเส้น เห็นเรขาคณิตให้ผลแรงภายในขั้นส่วนเพิ่มขึ้นเล็กน้อยประมาณ 5% ที่ส่วนที่ใช้งาน ส่วนผลการกระแทกของลมที่ไม่สมพันธ์ ซึ่งพิจารณาโดยวิธีแพตช์โนลด์ในข้อกำหนด UWO พบว่าให้ผลของแรงสูงกว่าวิธีลักษณะเดียดประมาณ 10-20%

ในการวิเคราะห์ผลทางพลศาสตร์สำหรับกรณีศึกษาพบว่าผลของโนمدที่สองทำให้แรงภายในขั้นส่วนมากเพิ่ม ขึ้นประมาณ 5-10% แต่ในขั้นส่วนท้ายเพิ่มขึ้นประมาณ 1-6 เท่า เมื่อเปรียบเทียบกับผลที่คิดโนمدแรกโดยเดียว และผล จากการพิจารณา 2 โนمدและรวมทุกโนمدมีค่าแตกต่างกันไม่มากกว่า 5-10% สำหรับตัวคุณภาพศาสตร์พบว่า เมื่อวิเคราะห์ โดยใช้ข้อมูลจากการทดสอบในอุ่นคงลม จุฬาลงกรณ์มหาวิทยาลัย จะให้ค่าตัวคุณภาพศาสตร์เท่ากับ 3.40 ส่วนข้อกำหนด UWO มีค่าเท่ากับ 2.0 ซึ่งต่างกันประมาณ 70% โดยมีสาเหตุหลัก คือ ลักษณะลมที่ได้จากการจำลองในอุ่นคง ลมอาจจะคลาเคลื่อนจากสภาพลมตามธรรมชาติ ซึ่งเห็นได้จากเส้นแสดงความหนาแน่นของสเปกตรัมพลังงานในงานวิจัย ข่ายไปด้านความถี่สูงเข้าใกล้ความถี่ธรรมชาติของเสาสูงมากขึ้น เมื่อเทียบกับเส้นกราฟความหนาแน่นของสเปกตรัมพลังงาน ของ Melbourne (1982) ทำให้ลดที่จำลองขึ้นเมื่อพิจารณาต่อเสาสูงมากขึ้น นอกจากนี้งานวิจัยพิจารณาค่าการตอบสนองสูง สุดจากความเร็วลมหนึ่งเหตุการณ์ แต่ข้อกำหนด UWO พิจารณาจากค่าเฉลี่ยของค่าสูงสุดจากเหตุการณ์จำนวนมาก โดยใช้ ทฤษฎีความน่าจะเป็น

พิมพ์ต้นฉบับที่ด้วยอวิทยานิพนธ์ภายในกรอบสีเขียวนี้เพียงแผ่นเดียว

C615022 : MAJOR CIVIL ENGINEERING

KEY WORD: DYNAMICS ANALYSIS / TRANSMISSION TOWER / LATTICE TOWER / NONLINEAR GEOMETRY.

JAGARAT SAMAKRATTAKIT : DYNAMICS ANALYSIS ON TRANSMISSION TOWER. THESIS

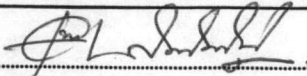
ADVISOR: PROF. PANITAN LUUKKUNAPRASIT, Ph.D. 156 pp. ISBN 974-632610-4

This research was conducted to compare the results from the static analyses of transmission line towers using existing design criteria followed by the Electricity Generation Authority of Thailand (EGAT) and the proposed guidelines on wind loads by the University of Western Ontario (UWO). Both linear and geometric nonlinear analyses were performed, assuming elastic material properties. In addition, linear dynamic responses in internal forces and reactions were also compared with those obtained from application of UWO guidelines. The time varying wind loading function was transformed from measured wind records. All the analyses were performed by using the general propose finite element program SAP90. The structure used in the case study was the 46.68 m-high DA1 lattice tower which collapsed in the 1989 Typhoon Gay in the unstrung condition.

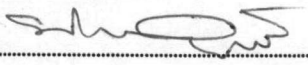
While the base shear resulting from statics analysis based on UWO guidelines was about 8% higher than that based on EGAT criteria, the corresponding base moment from UWO results was found to be much larger, in the order of 30%, whereas the discrepancies in the internal forces were about 10-40%. The main reason was that the UWO guidelines assume the more realistic Power Law distribution, resulting in considerable larger base moment than those predicted by the EGAT criteria which assume uniform pressure distribution based on the velocity at the average tower height. The effect of geometric nonlinearity was found to increase the internal forces in the serviceability limit state by only about 5%. The patch loading in the UWO specification which accounts for uncorrelated gusts resulted in internal forces increasing by about 10-20%.

The dynamics analyses of the tower in the case study incorporating the lower two modes yielded increase in the internal forces in the order of 5-10% for leg members, and 100-600% for diagonal members, when compared with the solutions which included only the fundamental mode. The results were not much different when all modes were included, the discrepancy being about 5-10%. The dynamic response factor was found to be 3.40 when the loading was based on the wind velocity recorded from wind tunnel tests at Chulalongkorn University. It was about 70% higher than that computed in accordance with the UWO guidelines. The large difference was due partly to the deviation of the characteristics of the wind modeled in the wind tunnel from that of the natural wind. The power spectrum density function of the modeled wind in full scale was seen to shift to the high frequency range, closer to the natural frequency of the tower when compared with the spectrum curve proposed by Melbourne (1982), with the consequence of increasing dynamic response of the structure. Furthermore, the peak response from dynamics analysis was computed based on one single wind speed event while that obtained from the UWO guidelines is the mean value of peak responses from a large ensemble of events using probability theory.

ภาควิชา..... วิศวกรรมโยธา

ลายมือชื่อนิสิต..... 

สาขาวิชา..... วิศวกรรมโยธา

ลายมือชื่ออาจารย์ที่ปรึกษา..... 

ปีการศึกษา..... 2539

ลายมือชื่ออาจารย์ที่ปรึกษาร่วม.....

กิตติกรรมประกาศ

วิทยานิพนธ์ฉบับนี้ได้สำเร็จลุล่วงไปได้ด้วยความช่วยเหลืออย่างดียิ่งของศาสตราจารย์ ดร. ปนิธาน ลักษณะประเสริฐ อาจารย์ที่ปรึกษาวิทยานิพนธ์ ซึ่งท่านได้ให้คำแนะนำและข้อคิดเห็นต่างๆ ของการวิจัยมาด้วยดีตลอด รวมทั้งขอกราบขอบพระคุณคณะกรรมการสอบวิทยานิพนธ์ อันประกอบด้วยรองศาสตราจารย์ ดร. ศุธรรม สุริยะมงคล ประธานกรรมการ และ ศาสตราจารย์ ดร. ทักษิณ เทพชาตรี ที่ได้กรุณาตรวจสอบและแก้ไขวิทยานิพนธ์นี้จนสำเร็จเรียบร้อย

นอกจากนี้ ผู้วิจัยขอขอบพระคุณ คุณสมลรัตน์ รัตนสุภากร ที่ได้ความช่วยเหลือด้านข้อมูล และความรู้เบื้องต้นอันเป็นประโยชน์ต่อการวิจัย

ท้ายนี้ ผู้วิจัยขอกราบขอบพระคุณ บิดา-มารดา ซึ่งสนับสนุนในด้านการเงินและให้กำลังใจแก่ผู้วิจัยเสมอจนสำเร็จการศึกษา

เอกสาร สมัครรักกิจ

ศูนย์วิทยทรัพยากร
จุฬาลงกรณ์มหาวิทยาลัย

สารบัญ

หน้าที่

บทคัดย่อภาษาไทย.....	๑
บทคัดย่อภาษาอังกฤษ.....	๒
กิตติกรรมประกาศ.....	๓
สารบัญ.....	๔
สารบัญตาราง.....	๕
สารบัญรูป.....	๖
คำอธิบายสัญลักษณ์.....	๗

บทที่

1. บทนำ.....	๑
1.1 ความนำ.....	๑
1.2 วัตถุประสงค์.....	๒
1.3 งานวิจัยที่ผ่านมา.....	๓
1.4 ข้อสมมุติฐานในงานวิจัย.....	๖
1.5 ขอบข่ายของงานวิจัย.....	๗
1.6 ขั้นตอนและวิธีดำเนินการวิจัย.....	๘
2. ทฤษฎีที่ใช้เคราะห์.....	๙
2.1 ลักษณะของลมธรรมชาติ.....	๙
2.2 การวิเคราะห์แบบพลศาสตร์.....	๑๐
2.3 วิธีวิเคราะห์แบบรวมโหมด.....	๑๓
2.4 การวิเคราะห์แบบไม่เชิงเส้นทางเรขาคณิต.....	๑๖
3. ข้อกำหนดที่ใช้ในงานวิจัย.....	๒๒

สารบัญ (ต่อ)

หน้าที่

3.1	ข้อกำหนดของการไฟฟ้าฝ่ายผลิตแห่งประเทศไทย.....	22
	3.1.1 ความเร็วลมอ้างอิง.....	22
	3.1.2 หน่วยแรงดันลม.....	23
	3.1.3 ตัวคูณผลลูปร่าง.....	24
	3.1.4 สภาพการรับน้ำหนัก.....	24
3.2	ข้อกำหนดที่เสนอโดยมหาวิทยาลัยเวสเทิร์นออนตาริโอ ประเทศไทยและแคนาดา.....	27
	3.2.1 หน่วยแรงลมที่กระทำต่อโครงสร้าง.....	27
	3.2.2 หน่วยแรงดันลมอ้างอิง.....	28
	3.2.3 ตัวคูณสภาพพื้นผิว.....	29
	3.2.4 ตัวคูณรูปร่างทางอากาศพลศาสตร์.....	29
	3.2.5 ตัวคูณผลลัพธ์.....	30
	3.2.6 สภาพการรับน้ำหนัก.....	33
3.3	แพตซ์โหลด.....	34
4.	โครงสร้างในกรณีศึกษาและการจำลอง.....	37
	4.1 ลักษณะทั่วไปของเสาส่งไฟฟ้ากรณีศึกษา.....	37
	4.2 การจำลองเสาส่งไฟฟ้า.....	38
	4.3 ความเร็วลมพื้นฐานที่ใช้ในการวิเคราะห์.....	39
	4.4 หน่วยแรงดันลม และการกระจายตามความสูง.....	40
5.	ผลการวิเคราะห์.....	42
	5.1 ผลการวิเคราะห์ทางด้านสถิตยศาสตร์.....	42
	5.2 ผลการวิเคราะห์ทางด้านพลศาสตร์.....	44
	5.2.1 ความถี่ธรรมชาติ.....	44
	5.2.2 การตรวจสอบผลการวิเคราะห์.....	44
	5.2.3 ผลการวิเคราะห์โดยใช้ลมจากมิชแกน.....	45

สารบัญ (ต่อ)

หน้าที่

5.2.4 ผลการวิเคราะห์โดยใช้ลมจากการทดสอบในอุโมงค์ลม.....	46
6. สรุปผลการวิจัย.....	48
6.1 สรุปผลการเบรียบเทียบระหว่างข้อกำหนด กฟผ. กับข้อกำหนด UWO.....	48
6.2 สรุปผลการเบรียบเทียบระหว่างผลสถิติศาสตร์และผลศาสตร์.....	49
รายการข้างอิง.....	125
ภาคผนวก.....	128
ภาคผนวก ก โครงการดีไซน์ของจุดต่ออเลเมนต์ในแบบจำลอง.....	129
ภาคผนวก ข การเรื่องต่อจุดและความยาวของชิ้นส่วนในแบบจำลอง.....	134
ภาคผนวก ค ไดอะแกรมของแรงที่กระทำต่อเสาส่งไฟฟ้าตามข้อกำหนดของ การไฟฟ้าฝ่ายผลิตแห่งประเทศไทย.....	149
ภาคผนวก ง ตัวอย่างการคำนวณแรงดันลม.....	154
ประวัติผู้เขียน.....	156

สารบัญตาราง

ตารางที่		หน้าที่
ตารางที่ 2.1	ค่า α และ Z_g สำหรับภูมิประเทศแบบต่าง ๆ (NBC,1990)	51
ตารางที่ 3.1	ค่าคงที่ K , สำหรับค่าการกลับ t ปี เมื่อคิดจากสถิติ t_0 ปี	51
ตารางที่ 3.2	ความสูงเกรเดียนท์ (Z_G) และดัชนียกกำลัง (α) ตามสภาพพื้นผิว ตามข้อกำหนดใหม่ที่เสนอโดยมหาวิทยาลัยเวสเทิร์นอนตาริโอ.....	52
ตารางที่ 3.3	ค่าปรับแก้หน่วยแรงดันลมที่เวลาเฉลี่ยอื่น ๆ เป็นที่เวลาเฉลี่ยใน 1 ชั่วโมง.....	52
ตารางที่ 3.4	ค่าปรับแก้หน่วยแรงดันลมให้มีค่าการกลับที่ 50 ปี.....	53
ตารางที่ 3.5	ตัวคูณลดความเร็วลมอ้างอิงในทิศทางต่าง ๆ.....	53
ตารางที่ 3.6	ค่าระยะความชุกชุม, สเกลแฟคเตอร์และดัชนียกกำลังสำหรับภูมิประเทศ ต่าง ๆ	54
ตารางที่ 3.7	ค่าตัวคูณรูปร่างโดยรวมสำหรับเสาโครงถัก.....	54
ตารางที่ 4.1	ผลของการ วิเคราะห์แบบไม่เชิงเส้น.....	54
ตารางที่ 4.2	เปรียบเทียบขั้นตอนระหว่าง กฟผ และ UWO สำหรับเสาสูงไฟฟ้า DA 1.....	55
ตารางที่ 5.1ก	แรงลมที่กระทำต่อโครงสร้างเสาสูงในทิศทางตั้งฉากกับแนวสายไฟฟ้า ตามข้อกำหนดใหม่ของมหาวิทยาลัยเวสเทิร์นอนตาริโอ แหล่งลมจากภาคใต้ของประเทศไทย วิเคราะห์โดยวิธีละเอียด.....	56
ตารางที่ 5.1ข	แรงลมที่กระทำต่อโครงสร้างเสาสูงในทิศทางขานานกับแนวสายไฟฟ้า ตามข้อกำหนดใหม่ของมหาวิทยาลัยเวสเทิร์นอนตาริโอ แหล่งลมจากภาคใต้ของประเทศไทย วิเคราะห์โดยวิธีละเอียด.....	56
ตารางที่ 5.2ก	แรงลมเฉลี่ยแพตซ์ใหญ่ที่กระทำต่อโครงสร้างเสาสูงในทิศทางตั้งฉาก กับแนวสายไฟฟ้า ตามข้อกำหนดใหม่ของมหาวิทยาลัยเวสเทิร์นอนตาริโอ แหล่งลมจากภาคใต้ของประเทศไทย; วิเคราะห์โดยวิธีแพตซ์ใหญ่.....	57
ตารางที่ 5.2ข	แรงลม เฉลี่ยของแพตซ์ใหญ่ที่กระทำต่อโครงสร้างเสาสูงในทิศทางขานาน กับแนวสายไฟฟ้า ตามข้อกำหนดใหม่ของมหาวิทยาลัยเวสเทิร์นอนตาริโอ แหล่งลมจากภาคใต้ของประเทศไทย; วิเคราะห์โดยวิธีแพตซ์ใหญ่.....	57

สารบัญตาราง (ต่อ)

ตารางที่

หน้าที่

ตารางที่ 5.3 ก	แรงลมแพตช์โนลด์ที่กระทำต่อโครงสร้างเสาส่งในทิศทางตั้งฉาก กับแนวสายไฟฟ้า ตามข้อกำหนดของมหาวิทยาลัยเวสเทิร์นออนตาริโอ ⁵⁸ แหล่งลมจากภาคใต้ของประเทศไทย ; วิเคราะห์โดยวิธีแพตช์โนลด์.....	58
ตารางที่ 5.3 ข	แรงลมแพตช์โนลด์ที่กระทำต่อโครงสร้างเสาส่งในทิศทางขานาน กับแนวสายไฟฟ้า ตามข้อกำหนดของมหาวิทยาลัยเวสเทิร์นออนตาริโอ ⁵⁸ แหล่งลมจากภาคใต้ของประเทศไทย; วิเคราะห์โดยวิธีแพตช์โนลด์.....	58
ตารางที่ 5.4 ก	แรงลมที่กระทำต่อโครงสร้างเสาส่งในทิศทางตั้งฉากกับแนวสายไฟฟ้า ตามข้อกำหนดใหม่ของมหาวิทยาลัยเวสเทิร์นออนตาริโอ ⁵⁹ แหล่งลมจาก Michigan,1931 วิเคราะห์โดยวิธีละเอียด.....	59
ตารางที่ 5.4 ข	แรงลมที่กระทำต่อโครงสร้างเสาส่งในทิศทางขานานกับแนวสายไฟฟ้า ตามข้อกำหนดใหม่ของมหาวิทยาลัยเวสเทิร์นออนตาริโอ ⁵⁹ แหล่งลมจาก Michigan,1931 วิเคราะห์โดยวิธีละเอียด	59
ตารางที่ 5.5 ก	แรงลมเฉลี่ยแพตช์โนลด์ที่กระทำต่อโครงสร้างเสาส่งในทิศทางตั้งฉาก กับแนวสายไฟฟ้า ตามข้อกำหนดของมหาวิทยาลัยเวสเทิร์นออนตาริโอ ⁶⁰ แหล่งลมจาก Michigan,1931 ; วิเคราะห์โดยวิธีแพตช์โนลด์.....	60
ตารางที่ 5.5 ข	แรงลมเฉลี่ยของแพตช์โนลด์ที่กระทำต่อโครงสร้างเสาส่งในทิศทางขานาน กับแนวสายไฟฟ้า ตามข้อกำหนดของมหาวิทยาลัยเวสเทิร์นออนตาริโอ ⁶⁰ แหล่งลมจาก Michigan,1931; วิเคราะห์โดยวิธีแพตช์โนลด์.....	60
ตารางที่ 5.6 ก	แรงลมแพตช์โนลด์ที่กระทำต่อโครงสร้างเสาส่งในทิศทางตั้งฉาก กับแนวสายไฟฟ้า ตามข้อกำหนดของมหาวิทยาลัยเวสเทิร์นออนตาริโอ ⁶¹ แหล่งลมจาก Michigan,1931 ; วิเคราะห์โดยวิธีแพตช์โนลด์.....	61
ตารางที่ 5.6 ข	แรงลมแพตช์โนลด์ที่กระทำต่อโครงสร้างเสาส่งในทิศทางขานาน กับแนวสายไฟฟ้า ตามข้อกำหนดของมหาวิทยาลัยเวสเทิร์นออนตาริโอ ⁶¹ แหล่งลมจาก Michigan,1931 ; วิเคราะห์โดยวิธีแพตช์โนลด์.....	61

สารบัญตาราง (ต่อ)

ตารางที่

หน้าที่

ตารางที่ 5.7ก	แรงภายใน (กก) ที่เกิดจากแรงลมกระทำต่อโครงสร้างเสาส่งในทิศตั้งฉาก กับแนวสายไฟฟ้า ตามข้อกำหนดของมหาวิทยาลัยเวสเทิร์นออนแทริโอ ^{และข้อกำหนดของการไฟฟ้าแห่งประเทศไทย} แหล่งลมจากภาคใต้ของประเทศไทย.....	62
ตารางที่ 5.7ข	แรงภายใน (กก) ที่เกิดจากแรงลมกระทำต่อโครงสร้างเสาส่งในทิศขานาน กับแนวสายไฟฟ้า ตามข้อกำหนดของมหาวิทยาลัยเวสเทิร์นออนแทริโอ ^{และข้อกำหนดของการไฟฟ้าแห่งประเทศไทย} แหล่งลมจากภาคใต้ของประเทศไทย.....	63
ตารางที่ 5.8ก	แรงภายใน (กก) ที่เกิดจากแรงลมกระทำต่อโครงสร้างเสาส่งในทิศตั้งฉาก กับแนวสายไฟฟ้า ตามข้อกำหนดของมหาวิทยาลัยเวสเทิร์นออนแทริโอ ^{แหล่งลมจาก Michigan,1931}	64
ตารางที่ 5.8ข	แรงภายใน (กก) ที่เกิดจากแรงลมกระทำต่อโครงสร้างเสาส่งในทิศขานาน กับแนวสายไฟฟ้า ตามข้อกำหนดของมหาวิทยาลัยเวสเทิร์นออนแทริโอ ^{แหล่งลมจาก Michigan,1931}	65
ตารางที่ 5.9ก	แรงภายใน (กก) ที่เกิดขึ้นจากการวิเคราะห์สถิติศาสตร์แบบเชิงเส้น ^{และไม่เชิงเส้นตามข้อกำหนดของการไฟฟ้าฝ่ายผลิตแห่งประเทศไทย}	66
ตารางที่ 5.9ข	แรงภายใน (กก) ที่เกิดขึ้นจากการวิเคราะห์สถิติศาสตร์แบบเชิงเส้น ^{และไม่เชิงเส้นตามข้อกำหนดใหม่ของมหาวิทยาลัยเวสเทิร์นออนแทริโอ}	66
ตารางที่ 5.10	ความถี่ธรรมชาติของเสาส่งไฟฟ้า DA1.....	67
ตารางที่ 5.11ก	แรงลมเฉลี่ยทางพลศาสตร์ที่ไม่เข้ากับเวลาที่กระทำต่อโครงสร้างเสาส่งในทิศทาง ^{ตั้งฉากกับแนวสายไฟฟ้า แหล่งลมจาก มิชิแกน,1931}	68
ตารางที่ 5.11ข	แรงลมเฉลี่ยทางพลศาสตร์ที่ไม่เข้ากับเวลาที่กระทำต่อโครงสร้างเสาส่งในทิศทาง ^{ขานานกับแนวสายไฟฟ้า แหล่งลมจาก มิชิแกน,1931}	68
ตารางที่ 5.12	ผลการเปรียบเทียบผลทางพลศาสตร์กับผลทางสถิติศาสตร์ในทิศทาง ^{ตั้งฉากและขานานกับแนวสายไฟฟ้า แหล่งลมจาก Michigan,1931}	69

สารบัญตาราง (ต่อ)

ตารางที่

หน้าที่

ตารางที่ 5.13ก การเปรียบเทียบด้านผลศาสตร์ระหว่างการใช้ฟังก์ชันจริงกับฟังก์ชันเดียว ในทิศทางตั้งฉากกับแนวสายไฟฟ้า แหล่งลมจาก Michigan,1931.....	73
ตารางที่ 5.13ข การเปรียบเทียบด้านผลศาสตร์ระหว่างการใช้ฟังก์ชันจริงกับฟังก์ชันเดียว ในทิศทางขนานกับแนวสายไฟฟ้า แหล่งลมจาก Michigan,1931.....	74
ตารางที่ 5.14ก แรงลมที่กระทำต่อโครงสร้างเสาสูงในทิศทางตั้งฉากกับแนวสายไฟฟ้า วิเคราะห์โดยวิธีล็อกเกียด แหล่งลมจากภาคใต้ของประเทศไทย.....	75
ตารางที่ 5.14ข แรงลมที่กระทำ ต่อโครงสร้างเสาสูงในทิศทางขนานกับแนวสายไฟฟ้า วิเคราะห์โดยวิธีล็อกเกียด แหล่งลมจากภาคใต้ของประเทศไทย.....	75
ตารางที่ 5.15ก แรงลมเฉลี่ยทางผลศาสตร์ที่ไม่เข้มกับเวลาที่กระทำต่อโครงสร้างเสาสูงในทิศทาง ตั้งฉากกับแนวสายไฟฟ้า แหล่งลมจากภาคใต้ของประเทศไทย.....	76
ตารางที่ 5.15ข แรงลมเฉลี่ยทางผลศาสตร์ที่ไม่เข้มกับเวลาที่กระทำต่อโครงสร้างเสาสูงในทิศทาง ตั้งฉากกับแนวสายไฟฟ้า แหล่งลมจากภาคใต้ของประเทศไทย.....	76
ตารางที่ 5.16 ผลการเปรียบเทียบผลทางผลศาสตร์กับ ผลทางสถิติศาสตร์ในทิศทาง ตั้งฉากและขนานกับแนวสายไฟฟ้า ลมจากภาคใต้ของประเทศไทย.....	77
ตารางที่ 5.17ก การเปรียบเทียบด้านผลศาสตร์ระหว่างการใช้ฟังก์ชันจริงกับฟังก์ชันเดียว ในทิศทางตั้งฉากกับแนวสายไฟฟ้า แหล่งลมจากภาคใต้ของประเทศไทย....	81
ตารางที่ 5.17ข การเปรียบเทียบด้านผลศาสตร์ระหว่างการใช้ฟังก์ชันจริงกับฟังก์ชันเดียว ในทิศทางขนานกับแนวสายไฟฟ้า แหล่งลมจากภาคใต้ของประเทศไทย.....	82

คุณภาพความมั่นคงทางการค้า

สารบัญรูป

รูปที่	หน้าที่
รูปที่ 1.1 ลักษณะของเสาส่งไฟฟ้า DA.1.....	83
รูปที่ 2.1 ลักษณะการเคลื่อนที่ของลมตามธรรมชาติ.....	84
รูปที่ 2.2 ความเร็วลมที่ระดับความสูงต่างๆ.....	84
รูปที่ 2.3 ทิศทางการเปลี่ยนตำแหน่งที่ข้าของชิ้นส่วนรับแรงในแนวแกน 3 มิติ.....	85
รูปที่ 2.4 การวิเคราะห์ไม่เชิงเส้นด้วยวิธีทำข้าโดยตรง.....	85
รูปที่ 3.1 การกระจายหน่วยแรงลมตามข้อกำหนดของ EGAT.....	86
รูปที่ 3.2 การกำหนด ทิศทางของลมที่จะทำต่อเสาส่งไฟฟ้า.....	86
รูปที่ 3.3 การกระจายหน่วยแรงลมตามข้อกำหนดของ UWO.....	87
รูปที่ 3.4 ความเร็วลมพื้นฐานสำหรับประเทศไทย.....	88
รูปที่ 3.5 ระยะความชักช่องบันพื้นผิวรวมสำหรับภูมิประเทศต่างๆ.....	89
รูปที่ 3.6 ส่วนพื้นหลังและส่วนกำทอนของบนสายไฟฟ้าและเสาส่ง.....	89
รูปที่ 3.7 คำจำกัดความของมิติต่างๆ ของสายไฟฟ้าและเสาส่ง.....	90
รูปที่ 3.8 รูปแบบของชุดของแรงแพตซ์โนลด์.....	90
รูปที่ 3.9 รูปแบบของแพตซ์โนลด์ที่จะทำต่อ Lattice structure.....	91
รูปที่ 3.10 รูปแบบของแพตซ์โนลด์ที่จะทำต่อ Guyed structure.....	91
รูปที่ 4.1 รูปร่างจริงของเสาส่งไฟฟ้า DA.1 ขนาด 230 เครื่อง.....	92
รูปที่ 4.2 รูปร่างของเสาส่งไฟฟ้า DA.1 ที่ใช้ในการวิจัย.....	93
รูปที่ 4.3ก รูปด้านข้างของแบบจำลองเสาส่งไฟฟ้าและแสดงจุดต่ออเลเมนต์.....	94
รูปที่ 4.3ข รูปด้านข้างของแบบจำลองเสาส่งไฟฟ้าและแสดงอเลเมนต์.....	96
รูปที่ 4.4 ความเร็วลมที่ระดับความสูงต่างๆ ที่วัดได้จริงที่มิชigan.....	98
รูปที่ 4.5 การติดตั้งอุปกรณ์ในการทดสอบอุโมงค์ลม.....	98
รูปที่ 4.6 รูปแบบ(Profile) ของลมที่ได้จากการทดสอบในอุโมงค์ลม.....	99
รูปที่ 4.7 แสดงช่วงของพลังงาน (Spectrum) ของความเร็วลม(อุโมงค์ลม).....	100
รูปที่ 4.8 ความเร็วลมที่ระดับต่างๆ จากการทดสอบในอุโมงค์ลม.....	100

สารบัญรูป (ต่อ)

รูปที่	หน้าที่
รูปที่ 5.1 ชิ้นส่วนของเสาส่งไฟฟ้า DA1. ที่พิจารณา.....	102
รูปที่ 5.2 รูปแสดงการแบ่งส่วนในแบบจำลองเสาส่งไฟฟ้าตามข้อกำหนด UWO.....	103
รูปที่ 5.3 รูปแบบการจำลองเสาส่งไฟฟ้าเพื่อการวิเคราะห์ทางพลศาสตร์.....	104
รูปที่ 5.4 รูปแสดงการเคลื่อนที่ในหมุดต่างๆ ของเสาส่งไฟฟ้า.....	104
รูปที่. 5.5ก พังก์ชัน $(V/\bar{V})^2$ ของแหล่งลมจาก Michigan,1931.....	105
รูปที่. 5.5ข พังก์ชัน $(V/\bar{V})^2$ ของแหล่งลมจากการทดสอบในอุโมงค์ลม.....	106
รูปที่. 5.6 ลักษณะของแรงเนื้อนที่ฐานและแรงภายนอกที่กระทำต่อเสาส่ง.....	107
รูปที่. 5.7.1 ผลพลศาสตร์ของชิ้นส่วน F3AT เนื่องจากแรงลมที่ Michigan,1931 ในทิศตั้งฉากกับสายส่งไฟฟ้า.....	107
รูปที่. 5.7.2 ผลพลศาสตร์ของชิ้นส่วน F2T เนื่องจากแรงลมที่ Michigan,1931 ในทิศตั้งฉากกับสายส่งไฟฟ้า.....	108
รูปที่. 5.7.3 ผลพลศาสตร์ของชิ้นส่วน F1T เนื่องจากแรงลมที่ Michigan,1931 ในทิศตั้งฉากกับสายส่งไฟฟ้า.....	108
รูปที่. 5.7.4 ผลพลศาสตร์ของชิ้นส่วน P9T เนื่องจากแรงลมที่ Michigan,1931 ในทิศตั้งฉากกับสายส่งไฟฟ้า.....	109
รูปที่. 5.7.5 ผลพลศาสตร์ของชิ้นส่วน F3A เนื่องจากแรงลมที่ Michigan,1931 ในทิศตั้งฉากกับสายส่งไฟฟ้า.....	109
รูปที่. 5.7.6 ผลพลศาสตร์ของชิ้นส่วน F2 เนื่องจากแรงลมที่ Michigan,1931 ในทิศตั้งฉากกับสายส่งไฟฟ้า.....	110
รูปที่. 5.7.7 ผลพลศาสตร์ของชิ้นส่วน F1 เนื่องจากแรงลมที่ Michigan,1931 ในทิศตั้งฉากกับสายส่งไฟฟ้า.....	110
รูปที่. 5.7.8 ผลพลศาสตร์ของชิ้นส่วน P9 เนื่องจากแรงลมที่ Michigan,1931 ในทิศตั้งฉากกับสายส่งไฟฟ้า.....	111
รูปที่. 5.7.9 ผลพลศาสตร์ของชิ้นส่วน Stub เนื่องจากแรงลมที่ Michigan,1931 ในทิศตั้งฉากกับสายส่งไฟฟ้า.....	111

สารบัญรูป (ต่อ)

รูปที่	หน้าที่
รูปที่. 5.7.10 ผลผลศาสตร์ของแรงเรื่อนที่ฐาน เนื่องจากแรงลมที่ Michigan,1931 ในทิศตั้งฉากกับสายส่งไฟฟ้า.....	112
รูปที่. 5.7.11 ผลผลศาสตร์ของโมเมนต์ที่ฐาน เนื่องจากแรงลมที่ Michigan,1931 ในทิศตั้งฉากกับสายส่งไฟฟ้า.....	112
รูปที่. 5.8 ผลการเคลื่อนที่ของจุดที่ 3 ของเสาส่งไฟฟ้าด้านผลศาสตร์เนื่องจากแรงลม ที่ Michigan,1931 ในทิศนานา กับสายส่งไฟฟ้า.....	113
รูปที่. 5.9.1 ผลผลศาสตร์ของชิ้นส่วน F3AL เนื่องจากแรงลมที่ Michigan,1931 ในทิศนานา กับสายส่งไฟฟ้า.....	113
รูปที่. 5.9.2 ผลผลศาสตร์ของ ชิ้นส่วน F2L เนื่องจากแรงลมที่ Michigan,1931 ในทิศนานา กับสายส่งไฟฟ้า.....	114
รูปที่. 5.9.3 ผลผลศาสตร์ของชิ้น ส่วน F1L เนื่องจากแรงลมที่ Michigan,1931 ในทิศนานา กับสายส่งไฟฟ้า.....	114
รูปที่. 5.9.4 ผลผลศาสตร์ของชิ้นส่วน P9L เนื่องจากแรงลมที่ Michigan,1931 ในทิศนานา กับสายส่งไฟฟ้า.....	115
รูปที่. 5.9.5 ผลผลศาสตร์ของชิ้นส่วน F3A เนื่องจากแรงลมที่ Michigan,1931 ในทิศนานา กับสายส่งไฟฟ้า.....	115
รูปที่. 5.9.6 ผลผลศาสตร์ของชิ้นส่วน F2 เนื่องจากแรงลมที่ Michigan,1931 ในทิศนานา กับสายส่งไฟฟ้า.....	116
รูปที่. 5.9.7 ผลผลศาสตร์ของชิ้นส่วน F1 เนื่องจากแรงลมที่ Michigan,1931 ในทิศนานา กับสายส่งไฟฟ้า.....	116
รูปที่. 5.9.8 ผลผลศาสตร์ของชิ้นส่วน P9 เนื่องจากแรงลมที่ Michigan,1931 ในทิศนานา กับสายส่งไฟฟ้า.....	117
รูปที่. 5.9.9 ผลผลศาสตร์ของชิ้นส่วน Stub เนื่องจากแรงลมที่ Michigan,1931 ในทิศนานา กับสายส่งไฟฟ้า.....	117

สารบัญรูป (ต่อ)

รูปที่	หน้าที่
รูปที่. 5.9.10 ผลผลิตศาสตร์ของแรงเฉือนที่ฐาน เนื่องจากแรงลมที่ Michigan,1931 ในทิศขานานกับสายส่งไฟฟ้า.....	118
รูปที่. 5.9.11 ผลผลิตศาสตร์ของโมเมนต์ที่ฐาน เนื่องจากแรงลมที่ Michigan,1931 ในทิศขานานกับสายส่งไฟฟ้า.....	118
รูปที่. 5.10.1 ผลผลิตศาสตร์ของชิ้นส่วน F2T ระหว่างการใช้ฟังก์ชันจริงกับใช้ฟังก์ชันเดียว (ที่ระดับกึ่งกลางของเสาส่ง) จากแรงลมที่ Michigan,1931 ในทิศตั้งฉากกับ ^{สายส่งไฟฟ้า.....}	119
รูปที่. 5.10.2 ผลผลิตศาสตร์ของชิ้นส่วน P9 ระหว่างการใช้ฟังก์ชันจริง กับใช้ฟังก์ชันเดียว (ที่ระดับกึ่งกลางของเสาส่ง) จากแรงลมที่ Michigan,1931 ในทิศตั้งฉากกับ ^{สายส่งไฟฟ้า.....}	119
รูปที่. 5.10.3 ผลผลิตศาสตร์ของแรงเฉือนที่ฐานระหว่างการใช้ฟังก์ชันจริงกับใช้ฟังก์ชันเดียว (ที่ระดับกึ่งกลางของเสาส่ง) จากแรงลมที่ Michigan,1931 ในทิศตั้งฉากกับ ^{สายส่งไฟฟ้า.....}	120
รูปที่. 5.10.4 ผลผลิตศาสตร์ของโมเมนต์ที่ฐานระหว่างการใช้ฟังก์ชันจริงกับใช้ฟังก์ชันเดียว (ที่ระดับกึ่งกลางของเสาส่ง) จากแรงลมที่ Michigan,1931 ในทิศตั้งฉากกับ ^{สายส่งไฟฟ้า.....}	120
รูปที่. 5.11.1 ผลผลิตศาสตร์ของชิ้นส่วน F2L ระหว่างการใช้ฟังก์ชันจริง กับใช้ฟังก์ชันเดียว (ที่ระดับกึ่งกลางของเสาส่ง) จากแรงลมที่ Michigan,1931 ในทิศขานานกับ ^{สายส่งไฟฟ้า.....}	121
รูปที่. 5.11.2 ผลผลิตศาสตร์ของชิ้นส่วน P9 ระหว่างการใช้ฟังก์ชันจริง กับใช้ฟังก์ชันเดียว (ที่ระดับกึ่งกลางของเสาส่ง) จากแรงลมที่ Michigan,1931 ในทิศขานานกับ ^{สายส่งไฟฟ้า.....}	121
รูปที่. 5.11.3 ผลผลิตศาสตร์ของแรงเฉือนที่ฐานระหว่างการใช้ฟังก์ชันจริงกับใช้ฟังก์ชันเดียว (ที่ระดับกึ่งกลางของเสาส่ง) จากแรงลมที่ Michigan,1931 ในทิศขานานกับ ^{สายส่งไฟฟ้า.....}	122

สารบัญรูป (ต่อ)

รูปที่	หน้าที่
รูปที่. 5.11.4 ผลผลิตของโนเมนต์ที่ฐานะห่วงการใช้ฟังก์ชันจริงกับใช้ฟังก์ชันเดียว (ที่ระดับกึ่งกลางของเสียง) จากแรงลมที่ Michigan, 1931 ในพิศชนะกับ ^{.....} สายส่งไฟฟ้า.....	122
รูปที่. 5.12.1 ผลผลิตของชิ้นส่วน F3AT เนื่องจากแรงลมที่ทดสอบในอุโมงค์ลม ในพิศตั้งจากกับสายส่งไฟฟ้า.....	123
รูปที่. 5.12.2 ผลผลิตของชิ้นส่วน F2T เนื่องจากแรงลมที่ทดสอบในอุโมงค์ลม ในพิศตั้งจากกับสายส่งไฟฟ้า.....	123
รูปที่. 5.12.3 ผลผลิตของชิ้นส่วน F1T เนื่องจากแรงลมที่ทดสอบในอุโมงค์ลม ในพิศตั้งจากกับสายส่งไฟฟ้า.....	124
รูปที่. 5.12.4 ผลผลิตของชิ้นส่วน P9T เนื่องจากแรงลมที่ทดสอบในอุโมงค์ลม ในพิศตั้งจากกับสายส่งไฟฟ้า.....	124

ศูนย์วิทยทรรพยากร
จุฬาลงกรณ์มหาวิทยาลัย

คำอธิบายสัญลักษณ์

A	คือ พื้นที่รับแรงลมของโครงสร้าง สำหรับเสาส่งไฟฟ้าให้คิดพื้นที่หน้าเดียว
A_T	คือ พื้นที่รับลมหน้าเดียวของเสาส่งไฟฟ้าในทิศทางตั้งฉากกับแนวสายส่ง
A_L	คือ พื้นที่รับลมหน้าเดียวของเสาส่งไฟฟ้าในทิศทางขนานกับแนวสายส่ง
B	คือ สเกลแฟคเตอร์ขึ้นอยู่กับสภาพภูมิประเทศ
B_t	คือ ส่วนของผลพื้นหลังของเสาสายส่งซึ่งกระทำกึงสติติย์ที่ความถี่ต่ำกว่ากับความถี่ธรรมชาติของเสาสายส่ง (f_s)
$[C]$	คือ เมตริกซ์ของความหน่วง
C_D	คือ ตัวคูณผลลูปร่าง (Shape factor)
C_i^*	คือ ความหน่วงประจำโมเดล (Model damping)
C_{dyn}	คือ ตัวคูณผลทางพลศาสตร์ (Dynamic response factor)
C_{exp}	คือ ตัวคูณสภาพพื้นผิว (Exposure factor)
C_{shp}	คือ ตัวคูณผลลูปร่างทางอากาศพลศาสตร์(Aerodynamic shape factor)
C_{shp}^*	คือ ตัวคูณผลลูปร่างรวมของเสาส่งไฟฟ้า (Overall shape factor)
E	คือ โมดูลัสยีดหยุ่น
e_x	คือ ส่วนเชิงเส้นของความเครียดแนวแกน
d	คือ เส้นผ่าศูนย์กลางของสายส่ง
F	แรงที่กระทำต่อโครงสร้าง
f_c	ความถี่ธรรมชาติของสายไฟฟ้า
f_D	แรงจากความหน่วง (Damping force) เป็นปฏิภาคกับความเร็ว
F_l	แรงประกอบขนานกับแนวสายส่งไฟฟ้า
f_s	แรงด้านทานอีเลสติกเบร์ดมาร์คเลื่อนที่
F_t	แรงประกอบตั้งฉากกับแนวสายส่งไฟฟ้า
f_t	ความถี่ธรรมชาติของโครงสร้าง (H_z)
g	ความเร่งเนื่องจากแรงโน้มถ่วงของโลก

คำอธิบายสัญลักษณ์ (ต่อ)

g_r	คือ ตัวประกอบสูงสุดทางสถิติ
h	คือ ความสูงทั้งหมดของเสาส่งไฟฟ้า (เมตร)
h_c	คือ ความสูงประสิทธิผลสายไฟเมื่อค่าเท่ากับความสูงที่ระดับติดตั้งสายไฟลงด้วย $2/3$ ของระยะตอกห้องชั่ว (Sag)
h_t	คือ ความสูงประสิทธิผลประมาณ $2/3$ ของความสูงทั้งหมด
$[K]$	คือ สติฟเนสของโครงสร้าง
$[K_e]$	คือ เมตริกซ์สติสเนสอีเล็กทริก
$[K_g]$	คือ เมตริกซ์สติสเนสเรขาคณิต
K_i^*	คือ สติฟเนสประจำหน่วย (Model stiffness)
$[K_s]_i$	คือ เมตริกซ์สติฟเนสของโครงสร้างจากเส้นคอร์ดในรอบที่ i
K_t	ค่าคงที่สำหรับค่าการกลับ t ปี เมื่อคิดจากสถิติ t_0 ปี
L	คือ ความยาวของชิ้นส่วน
LF	คือ แรงประกอบขานานกับแนวสายไฟฟ้า
L_s	คือ ศเกลอินทิกรัลทางขวางการแปรปรวน (Transverse integral scale of turbulence) โดยทั่วไปมีค่าประมาณ 65 เมตร
m	คือ มวลต่อหนึ่งหน่วยความยาวของสายไฟฟ้า
$[M]$	คือ เมตริกซ์ของมวล
M_i^*	คือ มวลประจำหน่วย (Model mass)
N, n	คือ จำนวนที่พิจารณา
P	คือ แรงในแนวแกน
q	คือ หน่วยแรงดันลม (Wind pressure)
$q_n(t)$	คือ ขนาดซึ่งแปรเปลี่ยนตามเวลาของ การเคลื่อนที่ในรูปแบบ $\{\phi_n\}$
q_{ref}	คือ หน่วยแรงดันลมข้างอิง (Reference velocity pressure)
r	คือ การเปลี่ยนตำแหน่งที่ข้าม
$\{R\}$	คือ เมตริกซ์ของแรงภายนอกที่กระทำต่อโครงสร้าง
\bar{r}	คือ ผลกระทบสนองเฉลี่ยเนื่องจากแรง (Mean loading effect)
\hat{r}	คือ ผลกระทบสนองสูงสุดเนื่องจากแรง

คำอธิบายสัญลักษณ์ (ต่อ)

R_i^*	คือ แรงเยนอวัลล์
\hat{r}_{PL}	คือ ผลของกระซิกรึความแปรปรวนของแรงแพชต์โนลด์
$R(t)$	คือ แรงภายในนอกที่เป็นพังก์ชันของเวลา
\tilde{r}_{PL}	คือ ผลการตอบสนองของแรงแพชต์โนลด์ทั้งหมด
r_{PLi}	คือ ผลการตอบสนองของแพชต์โนลด์ที่ i
R_t	คือ ส่วนของผลกำทอนของเสาสายสั่งที่ความถี่ ใกล้กับความถี่ธรรมชาติของเสาสายสั่ง
sag	คือ ระยะตกห้องช้าง
T	คือ แรงดึงในสายไฟฟ้า
TF	คือ แรงประกอบตั้งจากกับแนวสายไฟฟ้า
$\{u\}$	คือ เวกเตอร์ของการเคลื่อนที่
$\{\dot{u}\}$	คือ เวกเตอร์ของความเร็ว
$\{\ddot{u}\}$	คือ เวกเตอร์ของอัตราเร่ง
$V(t)$	คือ ความเร็วลมที่เวลาใด ๆ
\bar{V}	คือ ความเร็วลมเฉลี่ย
\bar{V}_{h_c}	คือ ความเร็วลมที่ความสูงประสิทธิผลของสายไฟฟ้า
\bar{V}_{h_l}	คือ ความเร็วลมที่ความสูงประสิทธิผล
V_{ref}	คือ ความเร็วลมอ้างอิง ที่ความสูง 10 เมตร
$v(t)$	คือ ความเร็วลมที่เปลี่ยนไปจากความเร็วลมเฉลี่ยตามเวลา
V_z	คือ ความเร็วลมเฉลี่ยที่ความสูง Z
V_{zG}	คือ ความเร็วลมเฉลี่ยที่ความสูง Z_G
W	คือ หน่วยแรงดันลมที่กระทำต่อโครงสร้าง
ω	คือ ความถี่ธรรมชาติเชิงรอบ (Circular natural frequency)
w	คือ น้ำหนักต่อนึง หน่วยความยาวของสายไฟฟ้า
Z	คือ ความสูงที่พิจารณา
Z_G	คือ ความสูงเกรเดียนต์

คำอธิบายสัญลักษณ์ (ต่อ)

Z_i	คือ ตำแหน่งสมดุลสถิตย์ของแพทต์โนลดที่ i
δs	คือ ความยาวใหม่ของ δx เมื่อรับแรงแนวแกน
δx	คือ ความยาวเริ่มต้นของเอกเลเมนต์
δv	คือ การเปลี่ยนตำแหน่งในทิศทางแกน y ตามระยะ δx
δw	คือ การเปลี่ยนตำแหน่งในทิศทางแกน w ตามระยะ δx
$\{\phi_n\}$	คือ เวคเตอร์วุ่นร่างการเคลื่อนที่ที่ไม่เข้ากับเวลา
$\{\Phi\}$	คือ เมตริกซ์ของการแปลง (Transformation matrix) ซึ่งเป็น เมตริกซ์จตุรัสขนาด $N \times N$
η_x	คือ ส่วนไม่ใช่เส้นของความเครียดแนวแกน
σ	ค่าความเบี่ยงเบนมาตรฐานของความเร็วลมสูงสุดในแต่ละปี
σ_r	คือ รากที่สองของค่าเฉลี่ยกำลังสองของผลตอบสนองเนื่องจากแรง (Root mean square loading effect)
ρ_a	ความหนาแน่นของอากาศมีค่าประมาณ 1.225 กิโลกรัม (มวล) ต่อลูกบาศก์เมตร
ϕ	ค่าสัดส่วนความทึบ (Solidity ratio)
ψ	มุมที่กระทำกับแนวตั้งจากแนวสายไฟฟ้า
α	ดัชนียกกำลังตามสภาพภูมิประเทศ
ζ_c	อัตรา ส่วนความหน่วง (Damping ratio) ของสายไฟฟ้า
ζ_t	อัตราส่วนความหน่วง ของเสาส่งไฟฟ้า
λ_B	แฟคเตอร์เนื่องจากพื้นที่ส่วนหลังของผลทางด้านพลศาสตร์
λ_R	แฟคเตอร์เนื่องจากผลการกำหนดของผลทางด้านพลศาสตร์
λ_{TL}	แฟคเตอร์เนื่องจากความแปรปรวนของลม